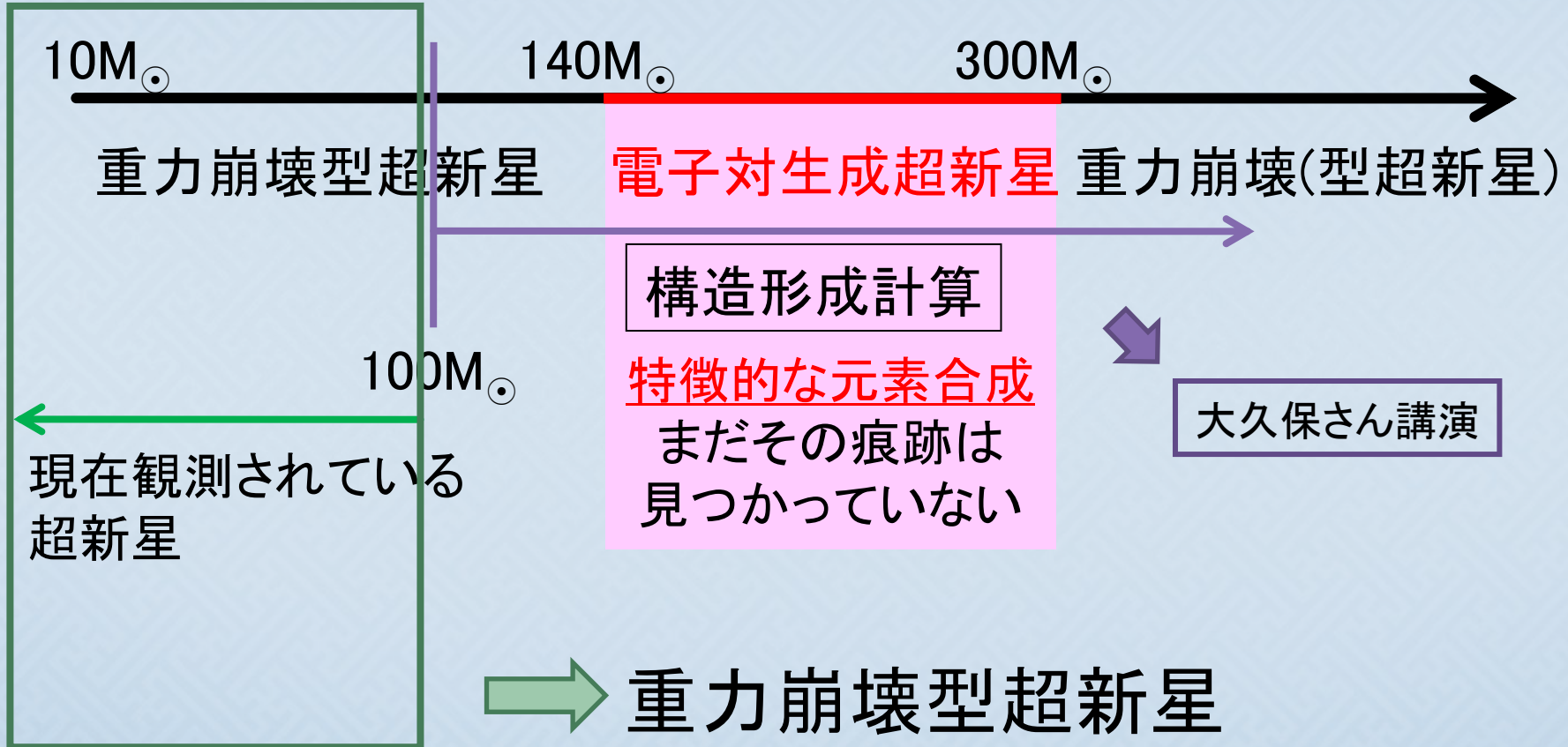


種族III星の超新星爆発

富永 望
(国立天文台)

第一世代星

星の一生は質量によって決まる



重力崩壊型超新星

非常に明るい

$L \sim 10^{42} \text{ erg/s} \sim 10^9 L_{\odot}$

エネルギー源

衝撃波加熱

^{56}Ni - ^{56}Co decay

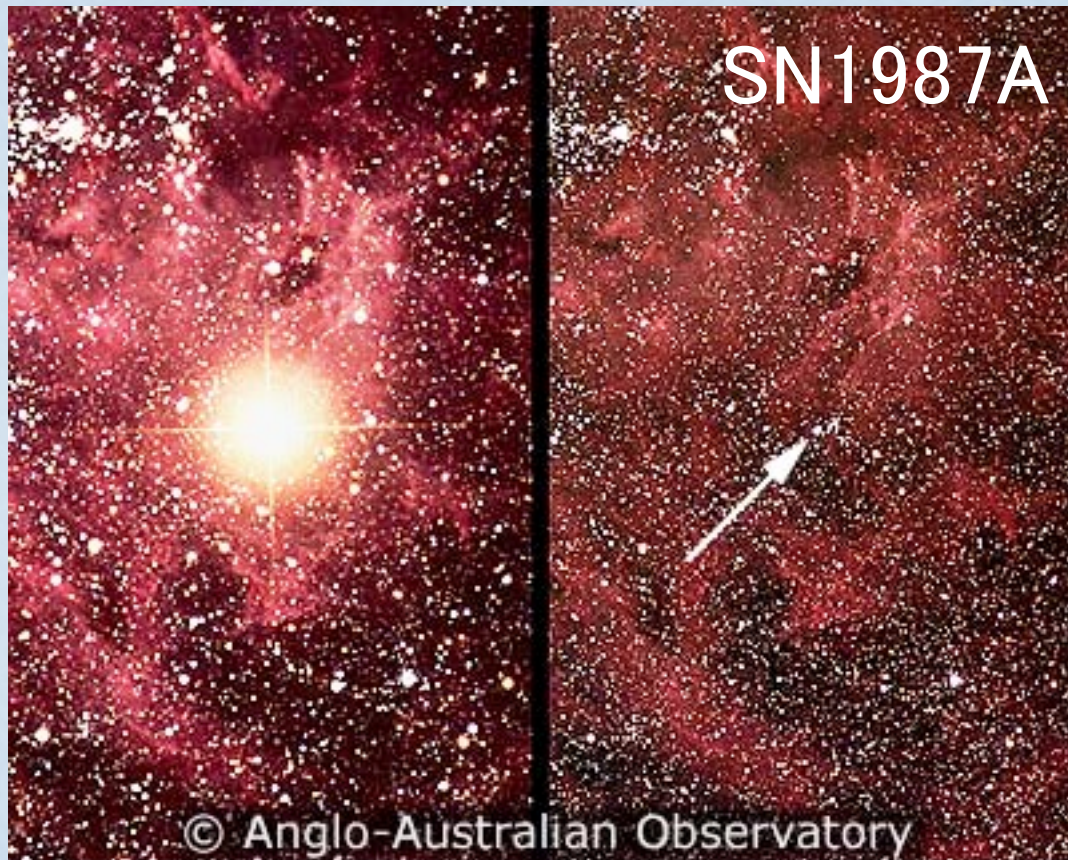
$M(^{56}\text{Ni}) \sim 0.07 M_{\odot}$

膨大なエネルギー

$E_K \sim 10^{51} \text{ erg}$

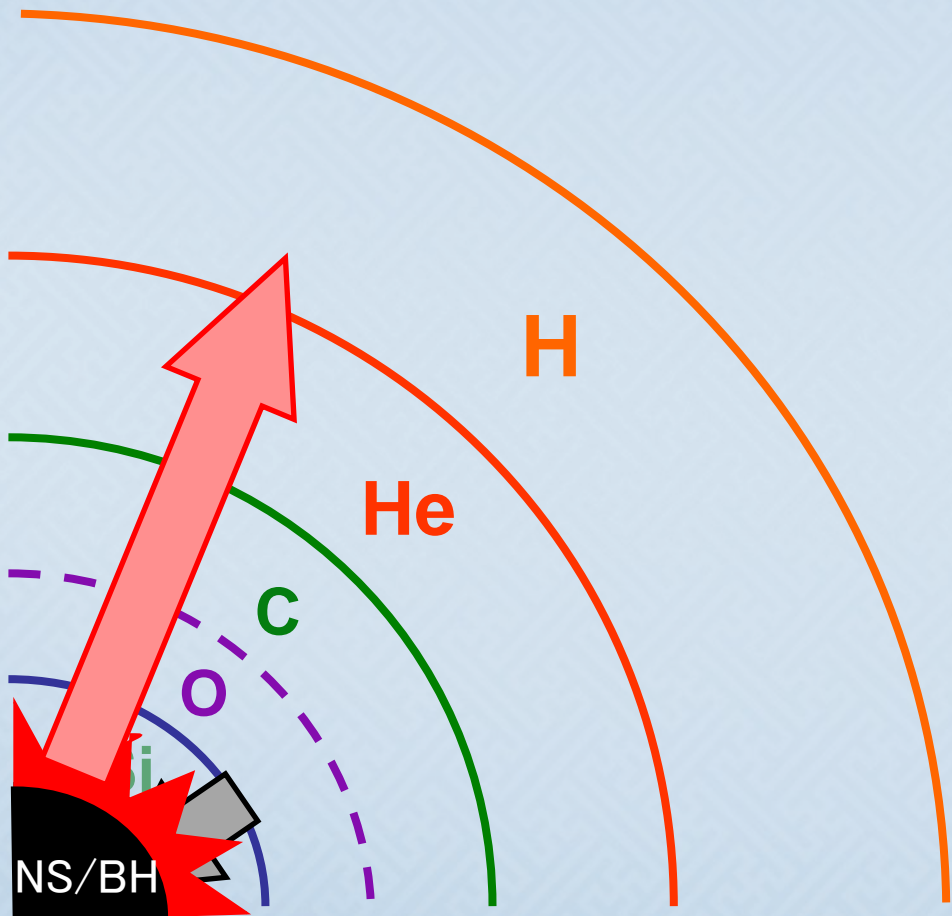
重力束縛エネルギー

$GM_{\odot}/R_{\text{NS}} \sim 10^{53} \text{ erg}$



大質量星の進化

Massive Star ($>10M_{\odot}$)
 e^- -capture SNe ($8-10M_{\odot}$)



Temp [10^8 K]	Burning Stage	Products
0.2	H	He
1.5	He	C,O
7	C	Ne,Mg
15	Ne	O,Mg
30	O	Si
40	Si	Cr,Mn
50	NSE	^{56}Ni



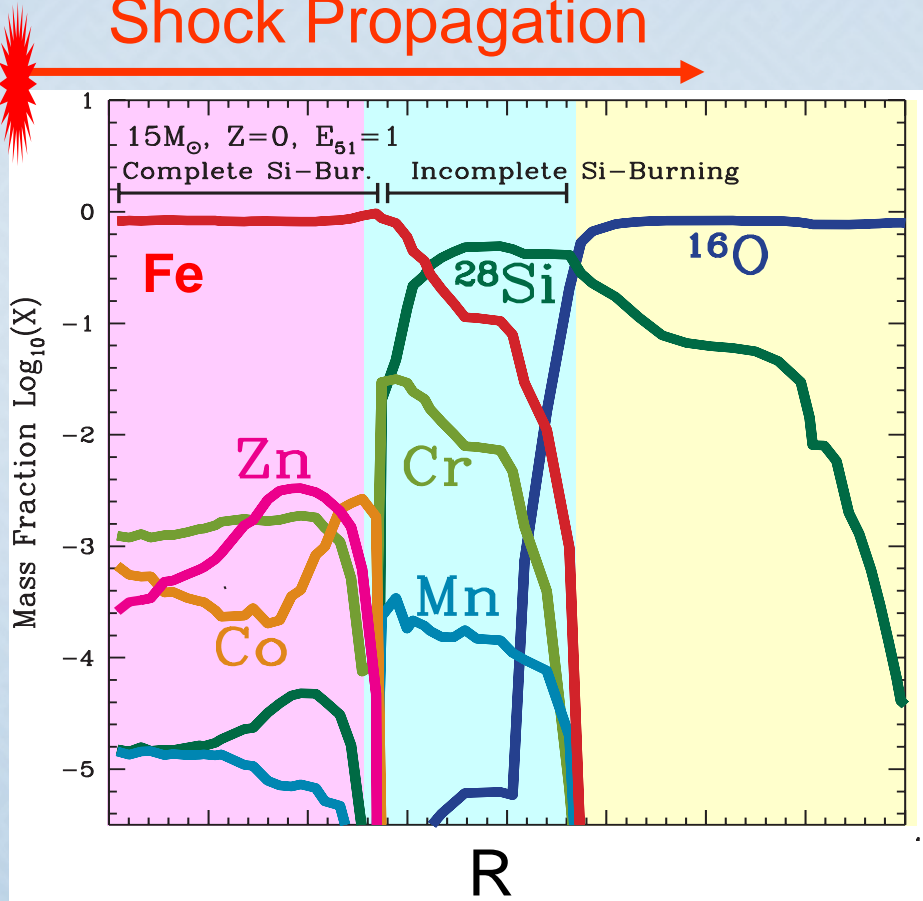
Core collapse driven by
Fe photodissociation
NS/BH formation
Energy deposition

超新星爆発における元素合成

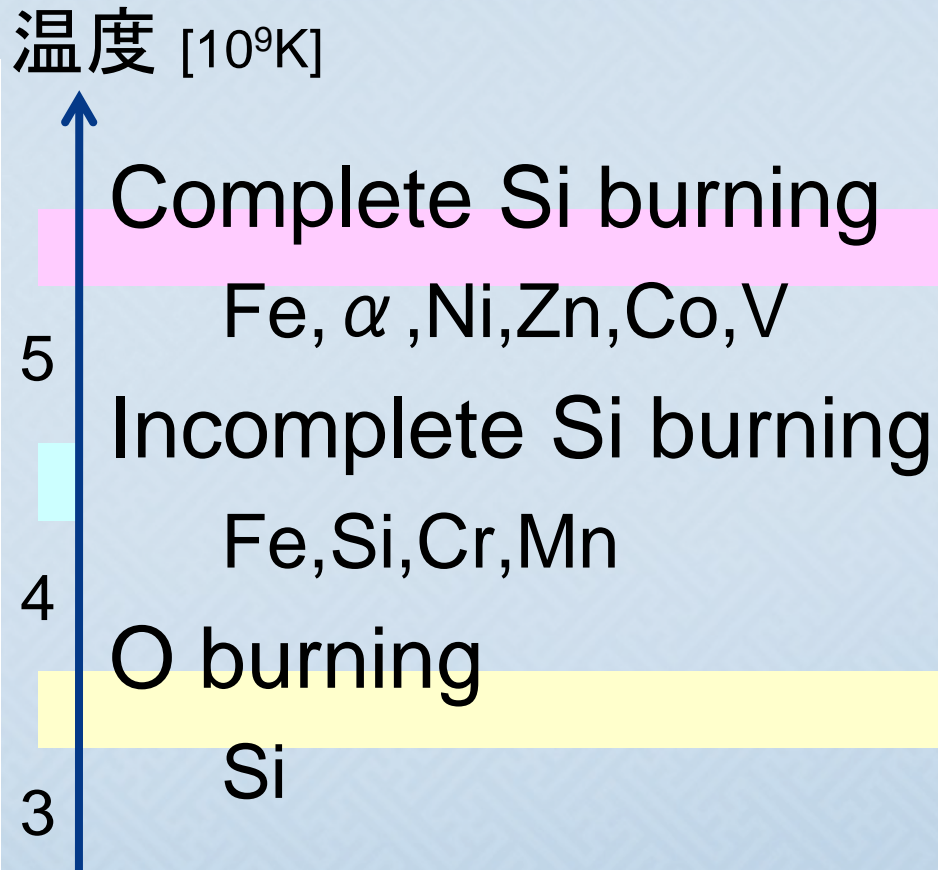
Post-shock Temperature

$$T \propto R^{-3/4} E^{1/4}$$

Shock Propagation



重い元素の合成
高温 内側



超新星爆発誘発星形成

(e.g., Shigeyama & Tsujimoto 1998)

超新星で放出された物質

(Fe, C, O, etc.)

と衝撃波で掃き集められた物質

(H, He)

の混合物質が衝撃波で圧縮されて
星形成を起こす

H, He

Fe, C, O,
Mg, Si, Ca

ISM が metal-free であると、

单一のPop III SNにおける元素合成を反
映

次世代星の元素組成

$$[A/B] = \log \left(\frac{M_{ej}(A) + M_{sw}(A)}{M_{ej}(B) + M_{sw}(B)} \right) - \log(A/B)_\odot$$

$M_{ej}(X)$: the ejected mass of an element X

$M_{sw}(X)$: the swept-up mass of X ($= X_{ISM}(X) \times M_{sw}$)

In spherical symmetry (e.g., Shigeyama & Tsujimoto 98),

$$M_{sw} = 5.1 \times 10^4 M_\odot \left(\frac{E_0}{10^{51} \text{erg}} \right)^{0.97} n_1^{-0.062} \left(\frac{C_S}{10 \text{ km s}^{-1}} \right)^{-9/7}$$

Hence, $\underline{M_{sw}(H,He)} \gg \underline{M_{ej}(H,He)}$.

For low metallicity ($M_{ej}(\text{metal}) \gg M_{sw}(\text{metal})$),

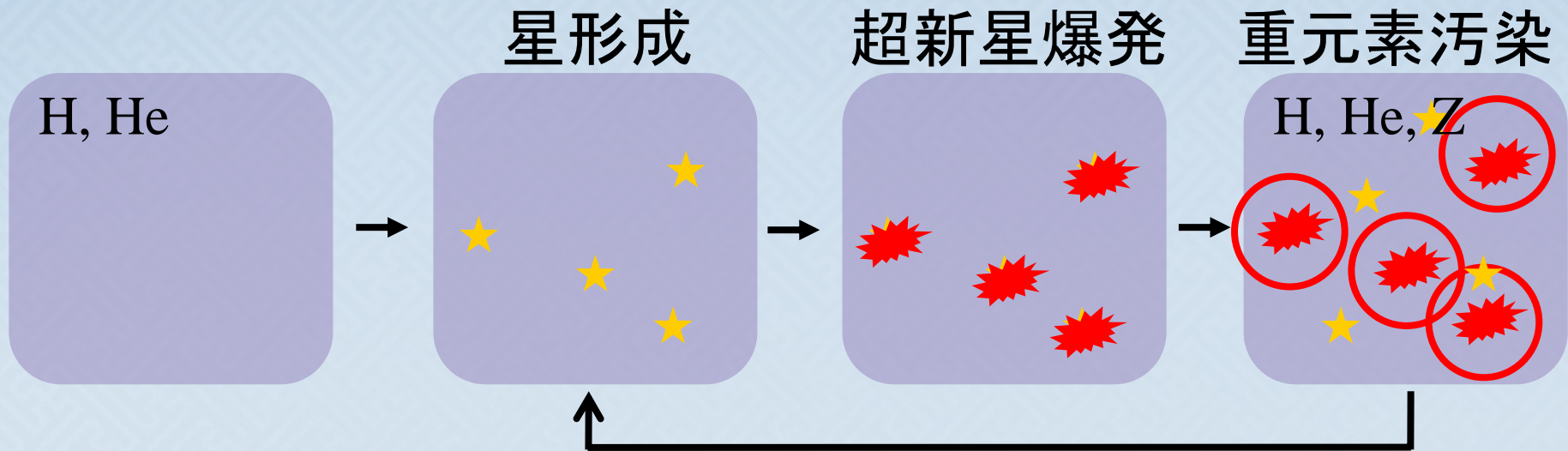
$$[A/H] \sim \log(M_{ej}(A)/M_{sw}(H)) + \text{con.}$$

$$[A/B] \sim \log(M_{ej}(A)/M_{ej}(B)) + \text{con.}$$

ISMがmetal-freeでなくても、metal-poor環境では

次世代星の元素組成は一つの超新星元素合成を主に反映。

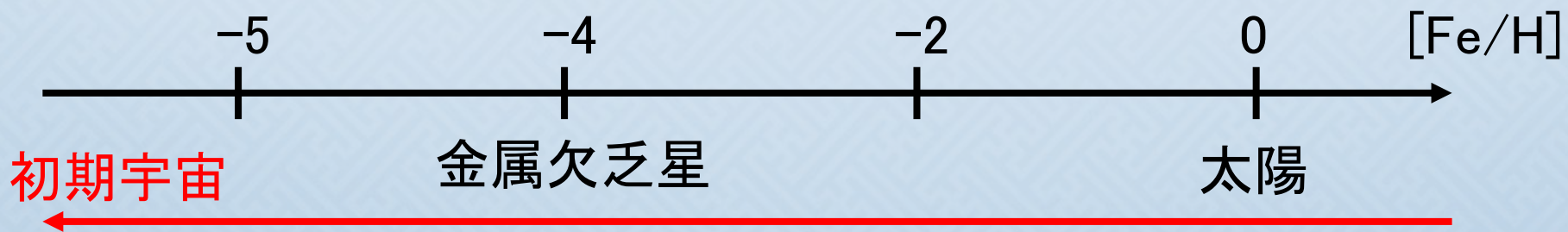
宇宙化学進化



時間とともに**金属量**が増える。

金属量: 時間の指標

$$[\text{Fe}/\text{H}] = \log(\text{Fe}/\text{H}) - \log(\text{Fe}/\text{H})_{\odot}$$



初期宇宙の元素組成

- 最初の重元素汚染: 最初の超新星爆発
- 初期宇宙において: 単一の超新星における元素合成の影響が支配的 (Audouze & Silk 95)

Metal-poor stars (金属欠乏星)

銀河系ハローにおいて発見
初期宇宙の元素組成を反映

金属欠乏星

(e.g., Cayrel + 04; Honda + 04)

[Fe/H]<-5

Hyper Metal-Poor (HMP)

[Fe/H]<-4

Ultra Metal-Poor (UMP)

[Fe/H]<-3

Extremely Metal-Poor (EMP)

[Fe/H]<-2

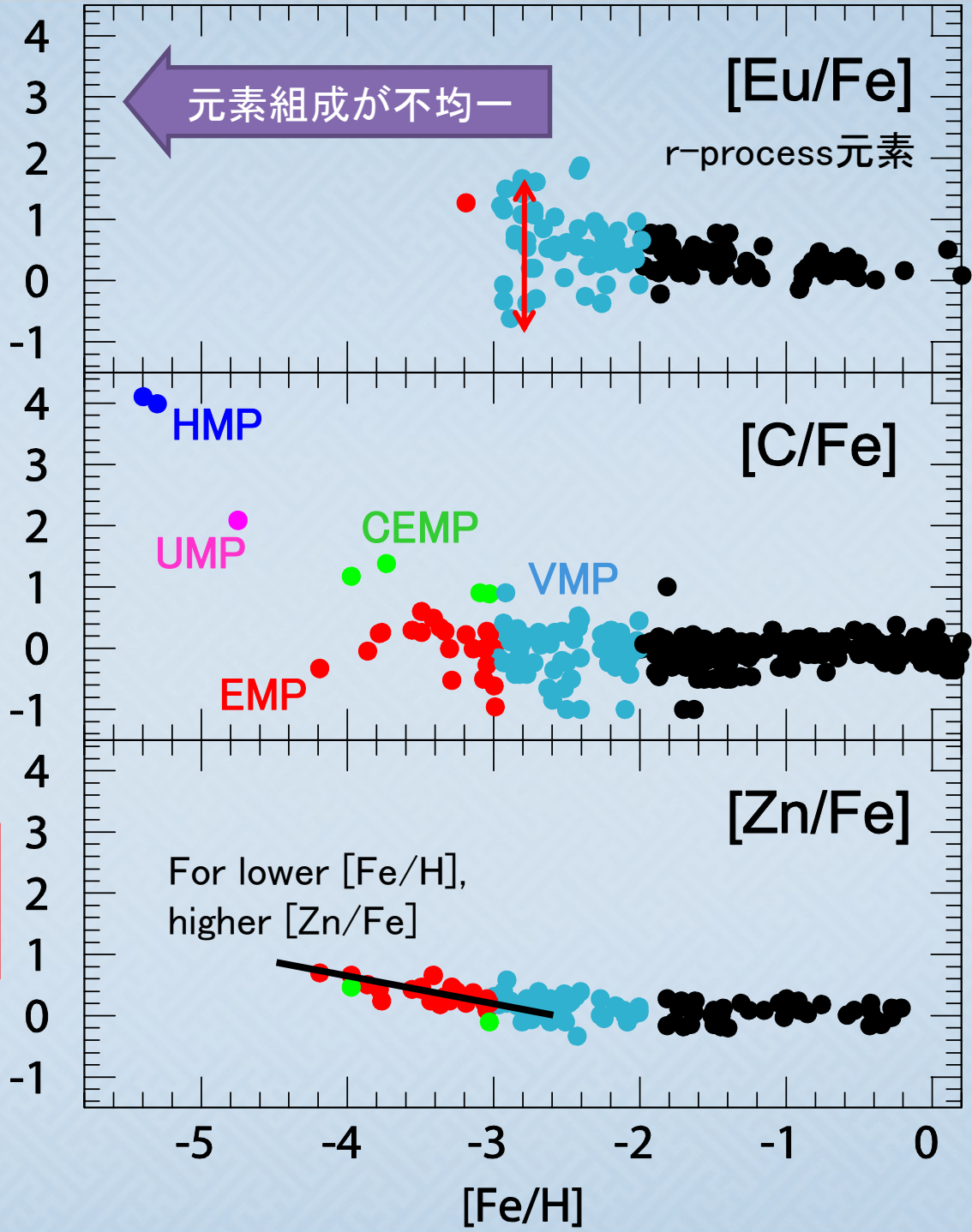
Very Metal-poor (VMP)

单一(少数)の超新星爆発
における元素合成

[Fe/H]>-3:

10個以上のSNの影響

(e.g., Tumlinson 06)



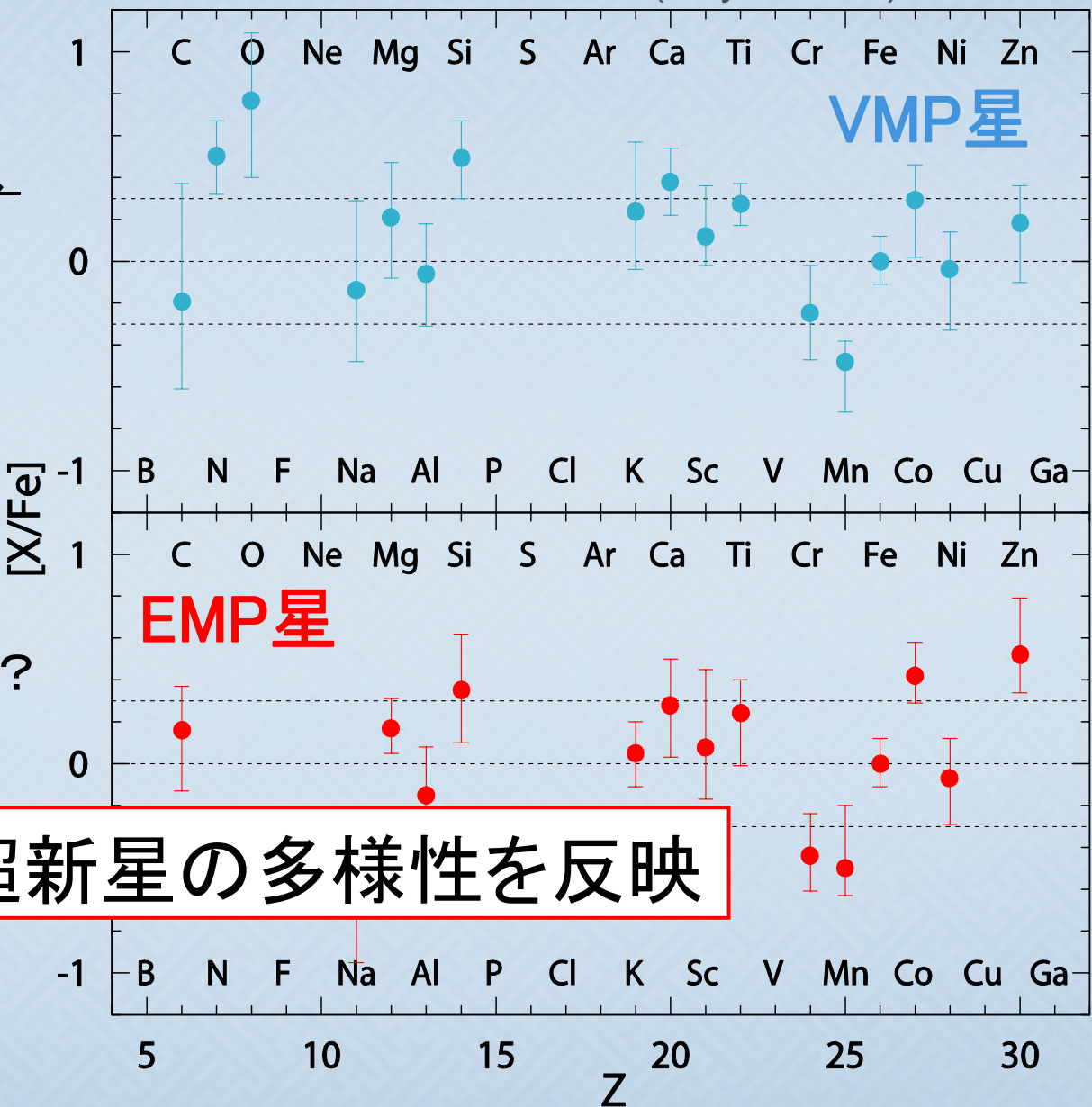
金属欠乏星の元素組成

(Cayrel + 04)

より低い金属量の星で、
[Zn/Fe] 高い
[Na/Fe] 低い



何に起因しているのか？
金属欠乏星の起源は何か？

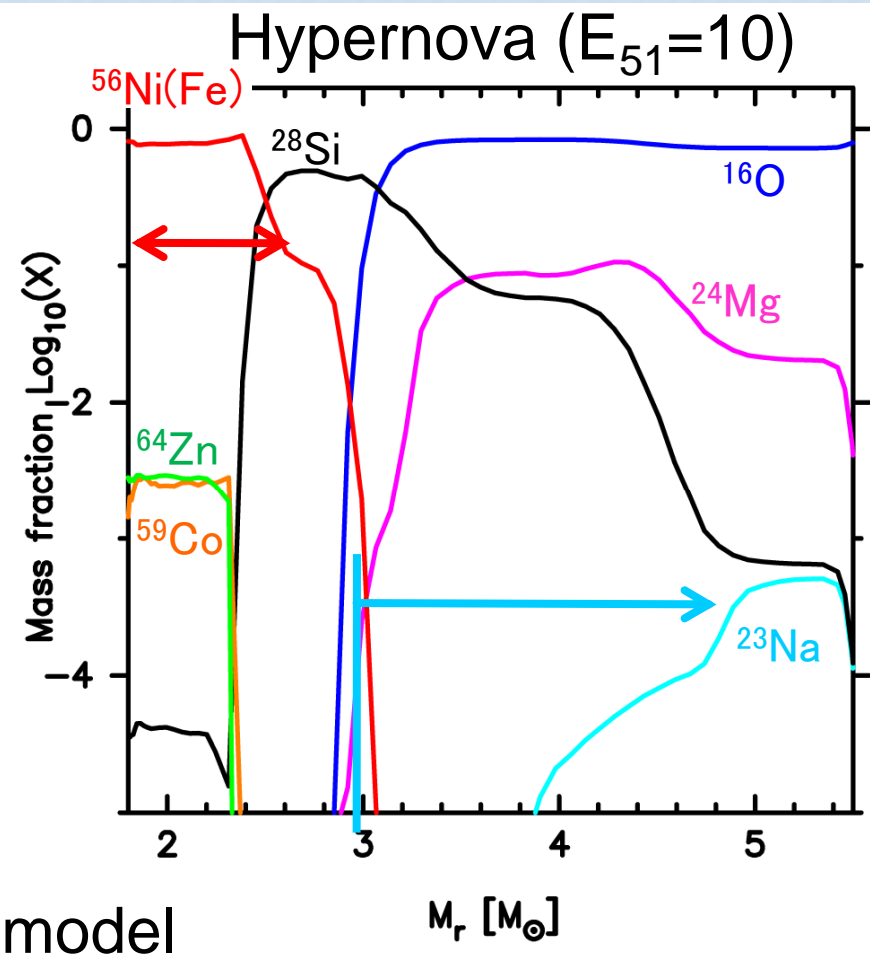
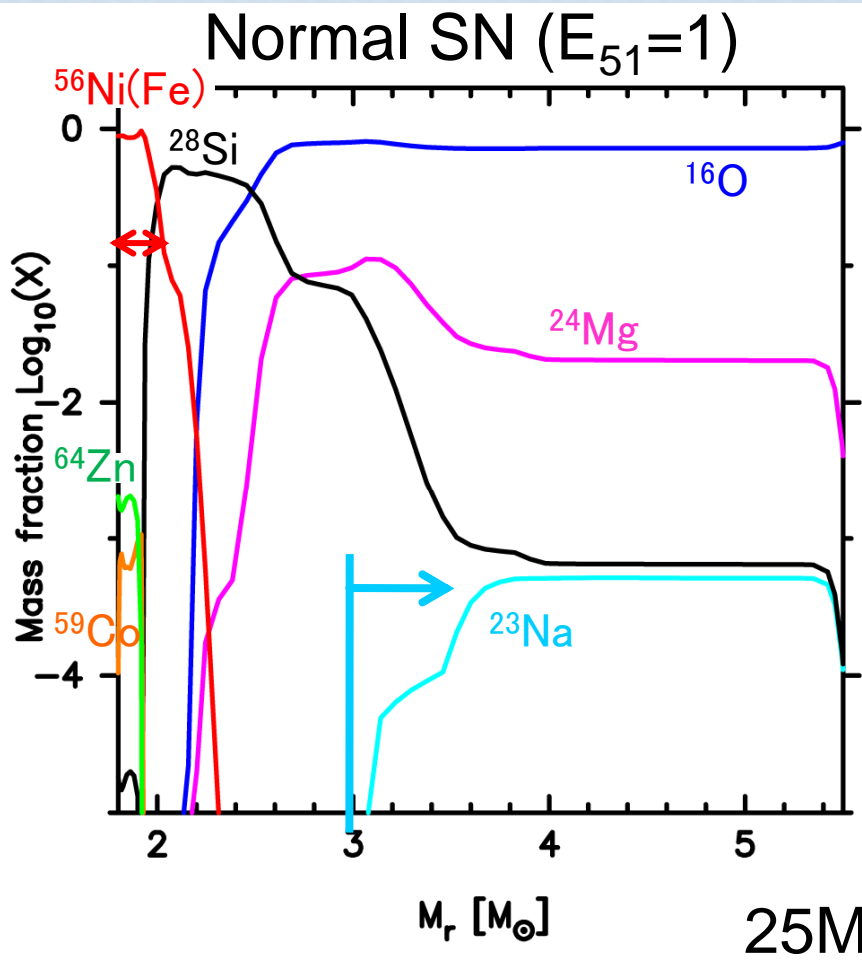


High [Zn/Fe] & low [Na/Fe]の起源

-High entropy & high energy explosion-

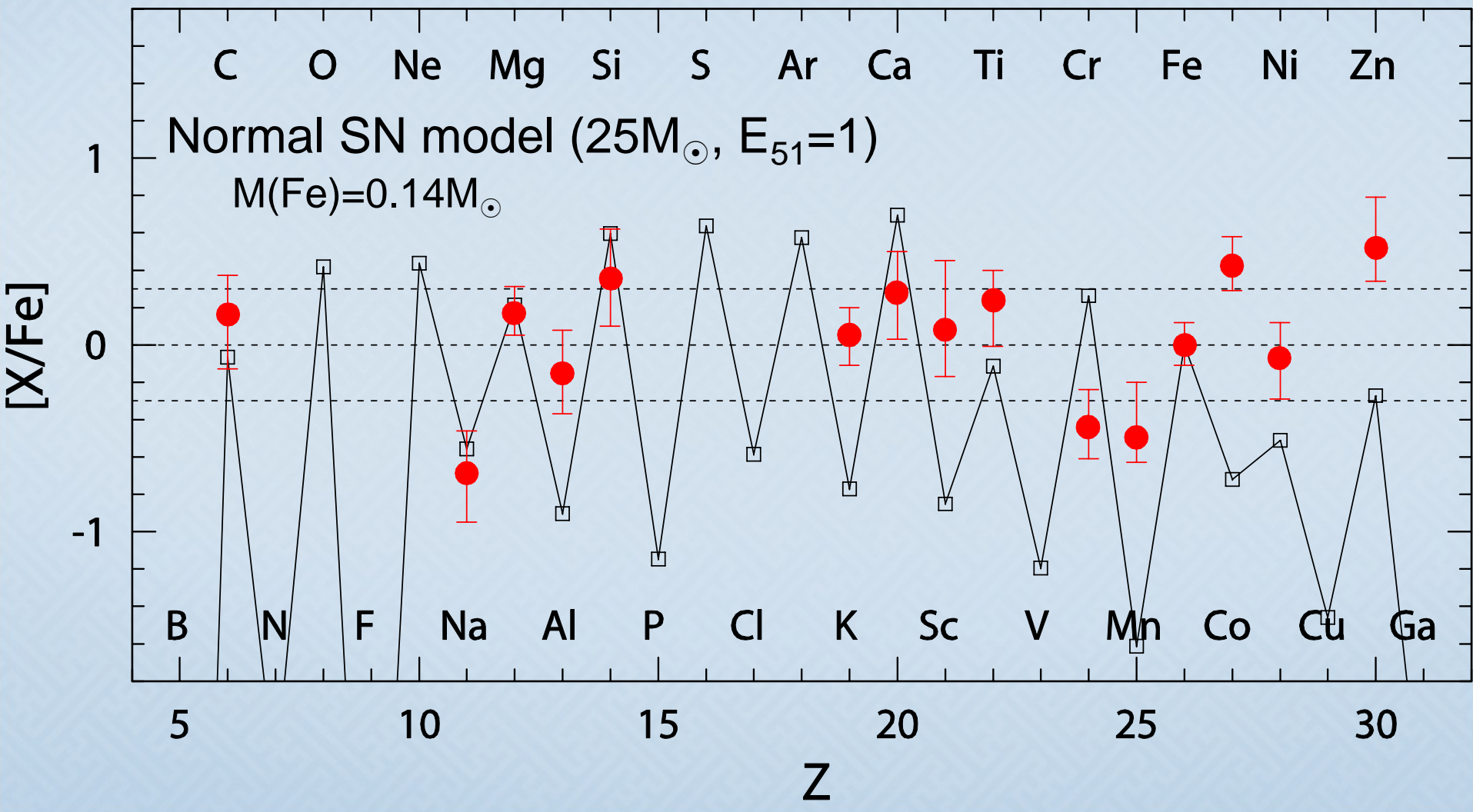
$$T \propto R^{-3/4} E^{1/4}$$

High E → high [Zn/Fe] & low [Na/Fe]



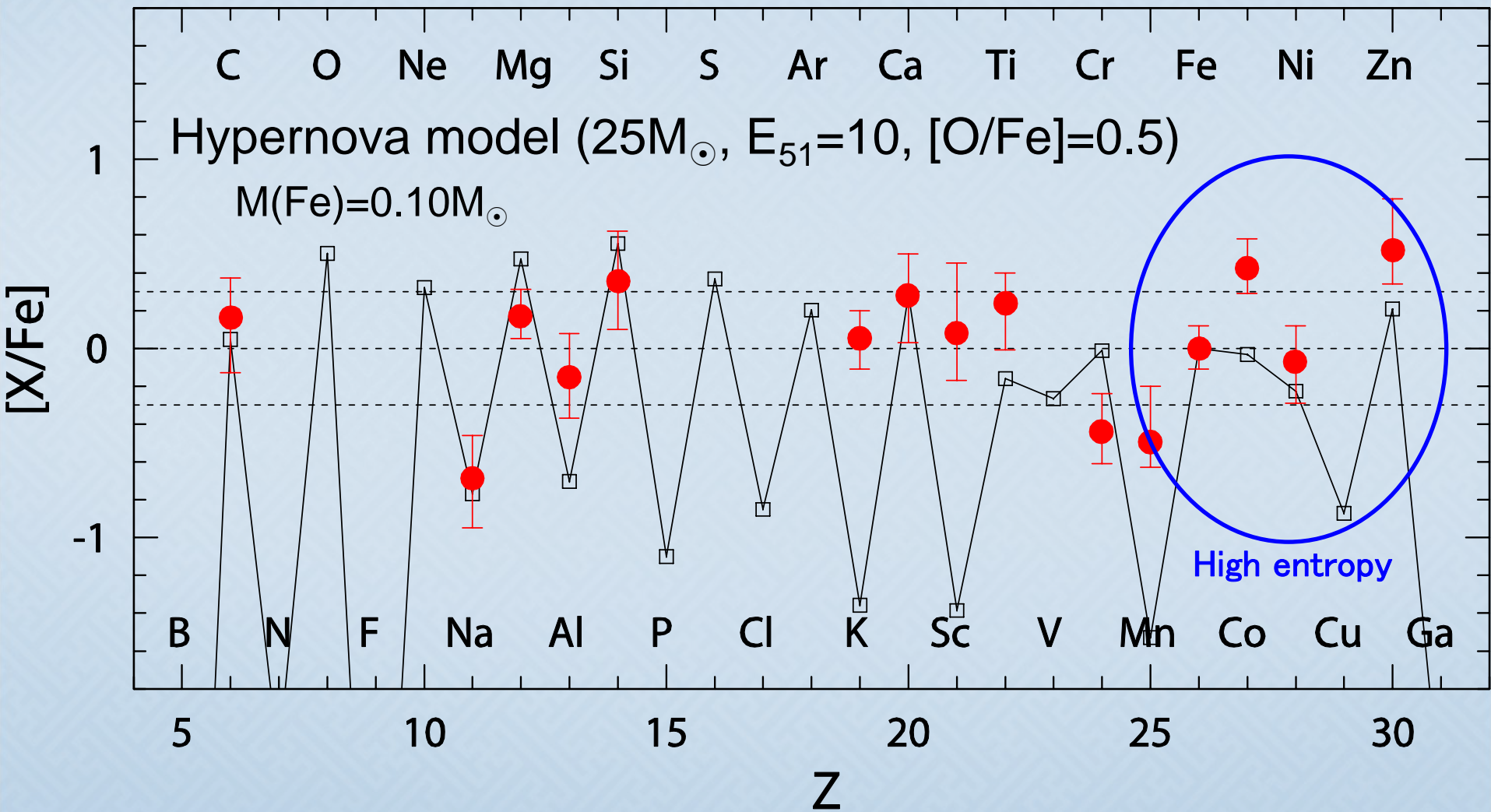
Normal SN vs. EMP stars

EMP stars ($-4.2 < [\text{Fe}/\text{H}] < -3.5$)



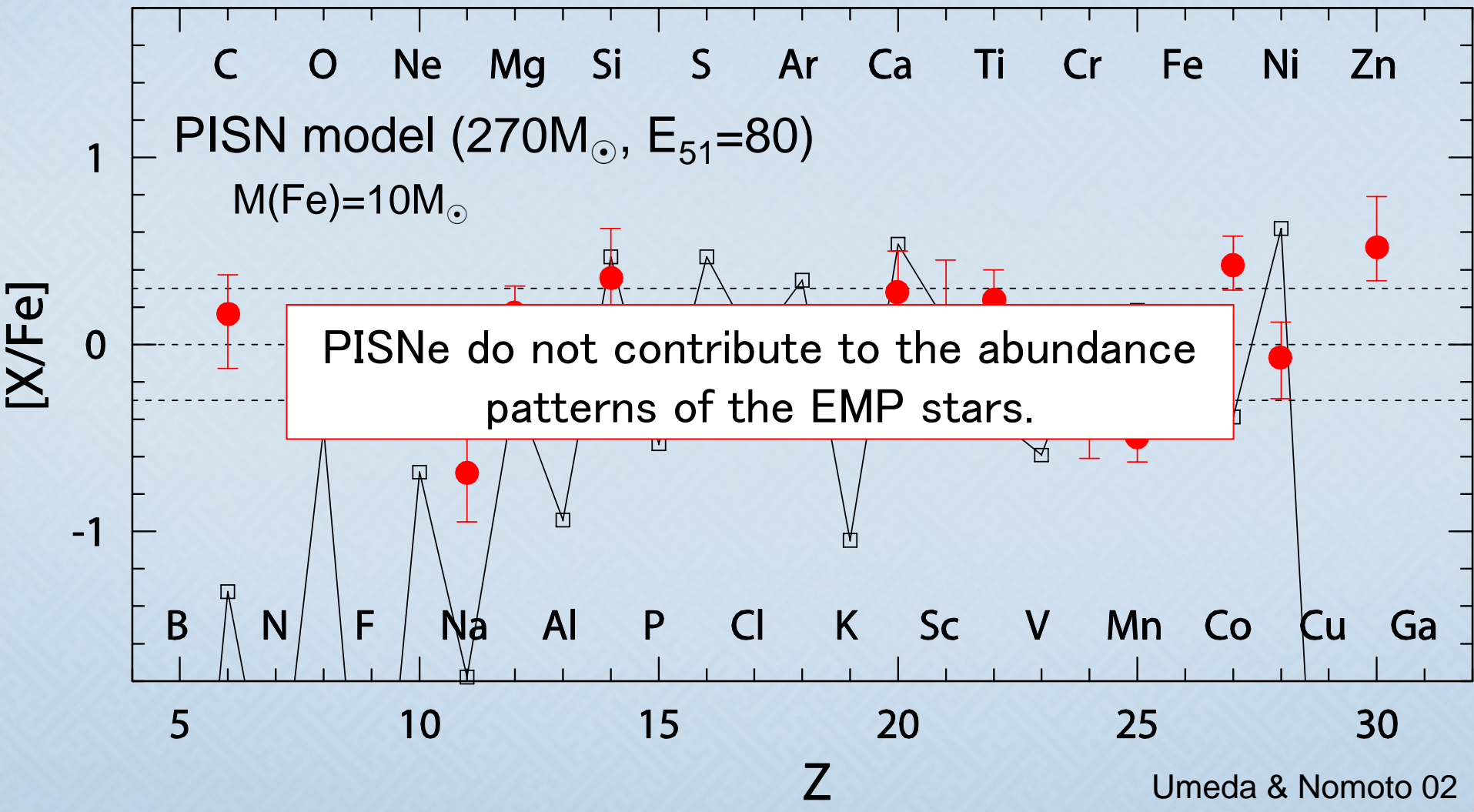
Hypernova vs. EMP stars

EMP stars ($-4.2 < [\text{Fe}/\text{H}] < -3.5$)

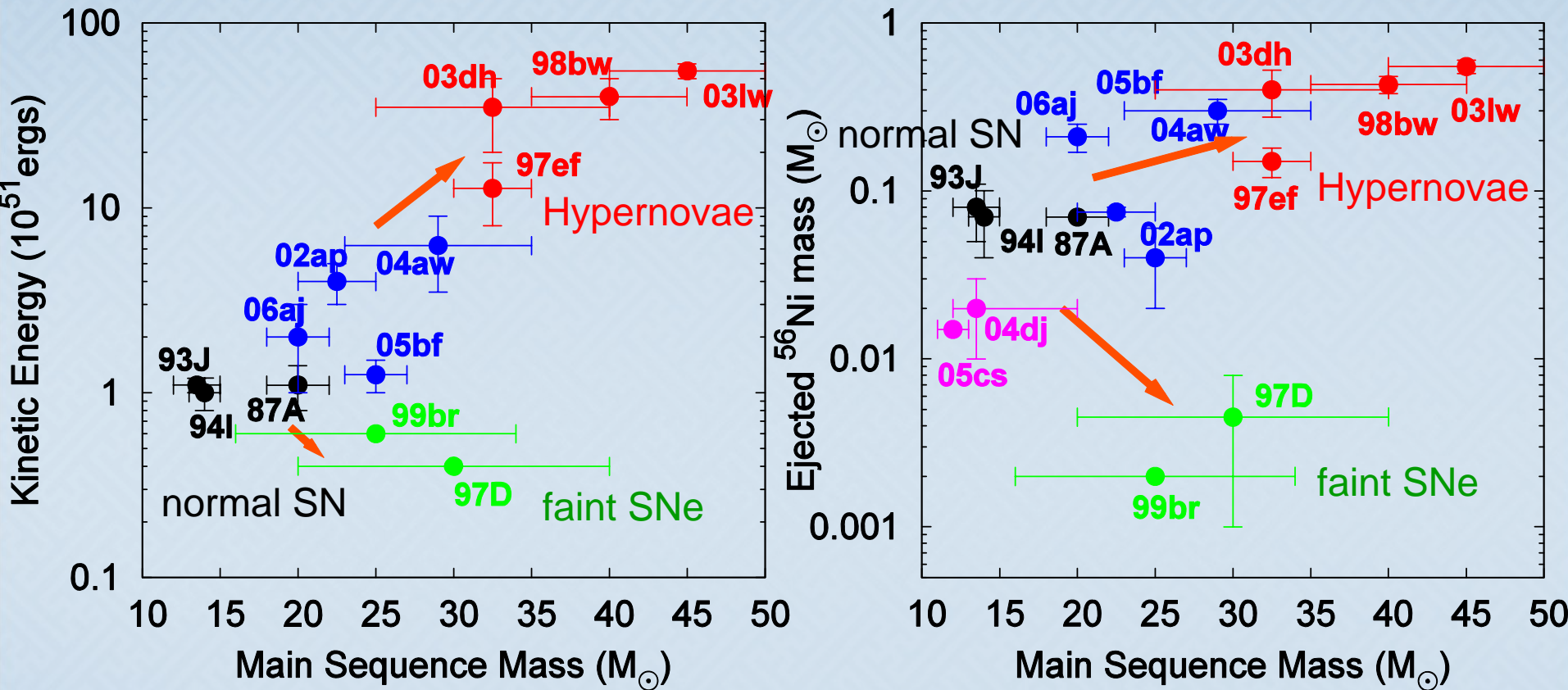


Pair-instability SNe vs. EMP stars

EMP stars ($-4.2 < [\text{Fe}/\text{H}] < -3.5$)



重力崩壊型超新星の多様性



Hypernovae: $M_{\text{ms}} > 25M_{\odot}$, $E > 10^{52}$ ergs, $M(^{56}\text{Ni}) \sim 0.1 - 0.6 M_{\odot}$

Normal SNe: $M_{\text{ms}} < 25M_{\odot}$, $E \sim 10^{51}$ ergs, $M(^{56}\text{Ni}) \sim 0.007 M_{\odot}$

Faint SNe: $M_{\text{ms}} > 20M_{\odot}$, $E < 10^{51}$ ergs, $M(^{56}\text{Ni}) \sim 0.001 - 0.01 M_{\odot}$
 (→CEMP星)

次世代星の[Fe/H]

$$M_{\text{sw}} = 5.1 \times 10^4 M_{\odot} \left(E / 10^{51} \text{erg} \right)^{0.97} \left(n / 1 \text{cm}^{-3} \right)^{-0.062} \left(C_s / 10 \text{km s}^{-1} \right)^{-9/7}$$

(Shigeyama & Tsujimoto 98)

(PISNe: $E \sim 10\text{--}80 \times 10^{51}$ ergs, $M(\text{Fe}) \sim 1\text{--}30 M_{\odot}$)

Hypernovae: $E > 10^{52}$ ergs, $M(\text{Fe}) \sim 0.1\text{--}0.6 M_{\odot}$

Normal SNe: $E \sim 10^{51}$ ergs, $M(\text{Fe}) \sim 0.07 M_{\odot}$

Faint SNe: $E < 10^{51}$ ergs, $M(\text{Fe}) \sim 0.001\text{--}0.01 M_{\odot}$

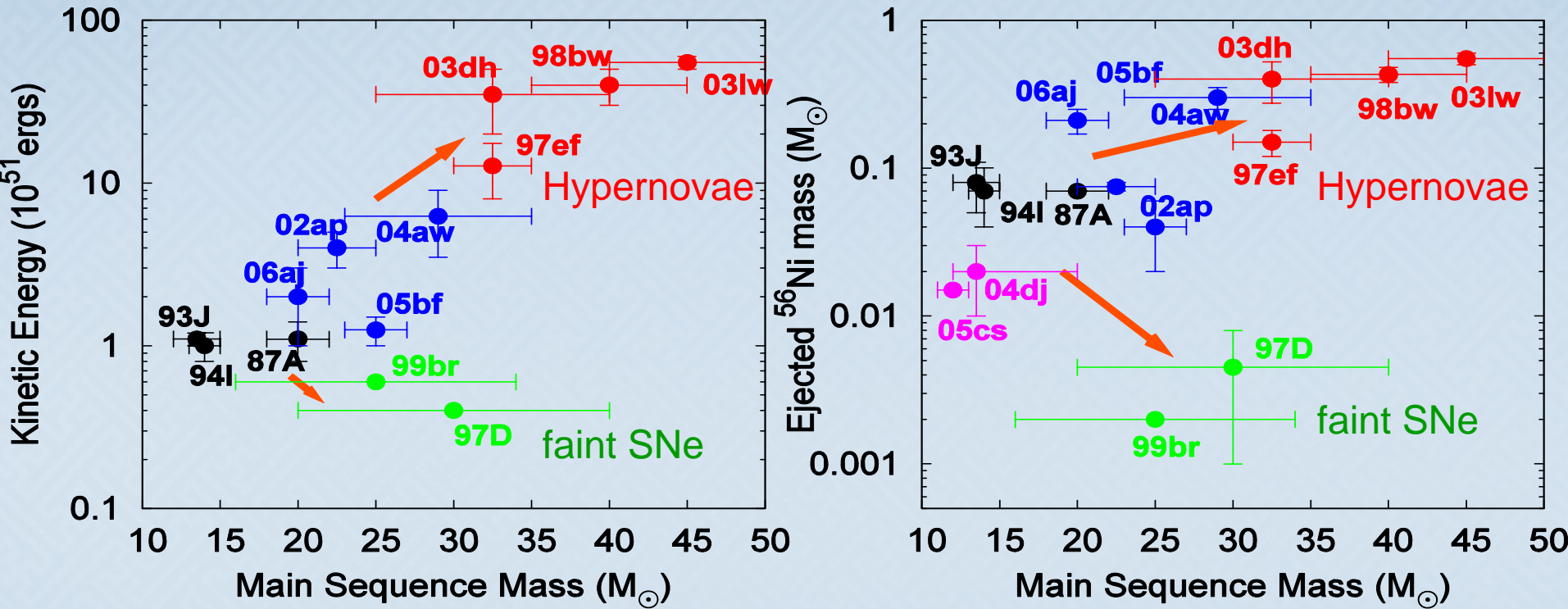
典型的な[Fe/H]

(PISNe) > Normal SNe > Hypernovae ~ Faint SNe
(~-1) VMP EMP CEMP

Trends of [Zn/Fe], [Na/Fe] vs. [Fe/H]

High [Zn/Fe]かつ low [Na/Fe]であるHNは、
[Fe/H]の低いEMP星に寄与。

重力崩壊型超新星の多様性



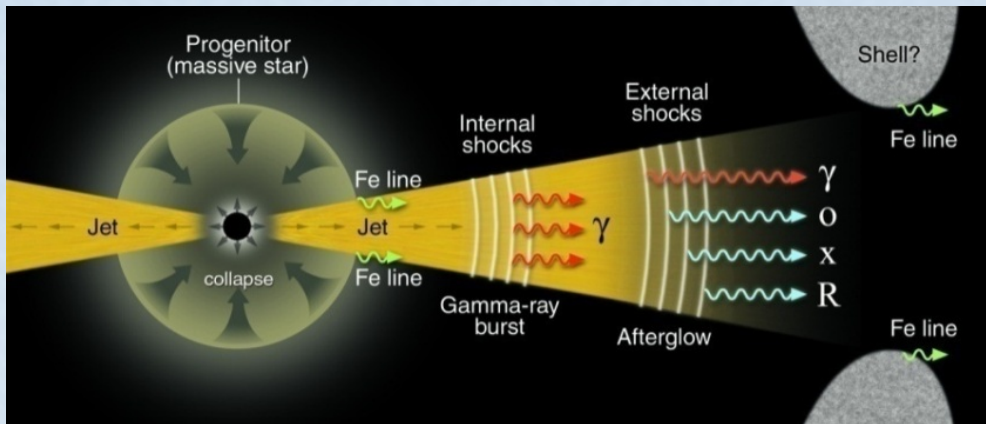
8モデル(M_{ms})で球対称流体元素合成計算

M_{ms}/M_{\odot}	13	15	18	20	25	30	40	50
$E/10^{51}\text{erg}$	1	1	1	10	5,10	20	30	40
$M(\text{Fe})/M_{\odot}$	0.07	0.07	0.07	0.08	0.1	0.2	0.3	0.6

Hypernova \Rightarrow Aspherical explosion

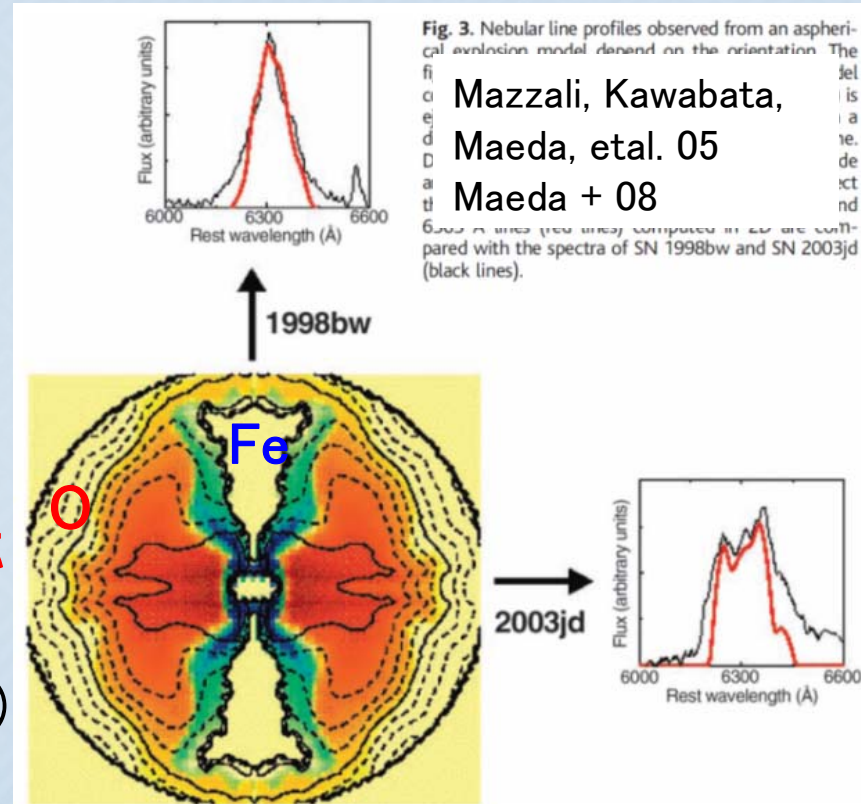
Gamma-ray bursts association

相対論的ジェットを伴う爆発



全ての重力崩壊型超新星が非球対称である(と考えても矛盾がない)。
(e.g., Maeda + 08)

Hypernovae 超新星爆発の後期観測



とりあえず、Hypernovaにのみ非球対称性を考慮する。



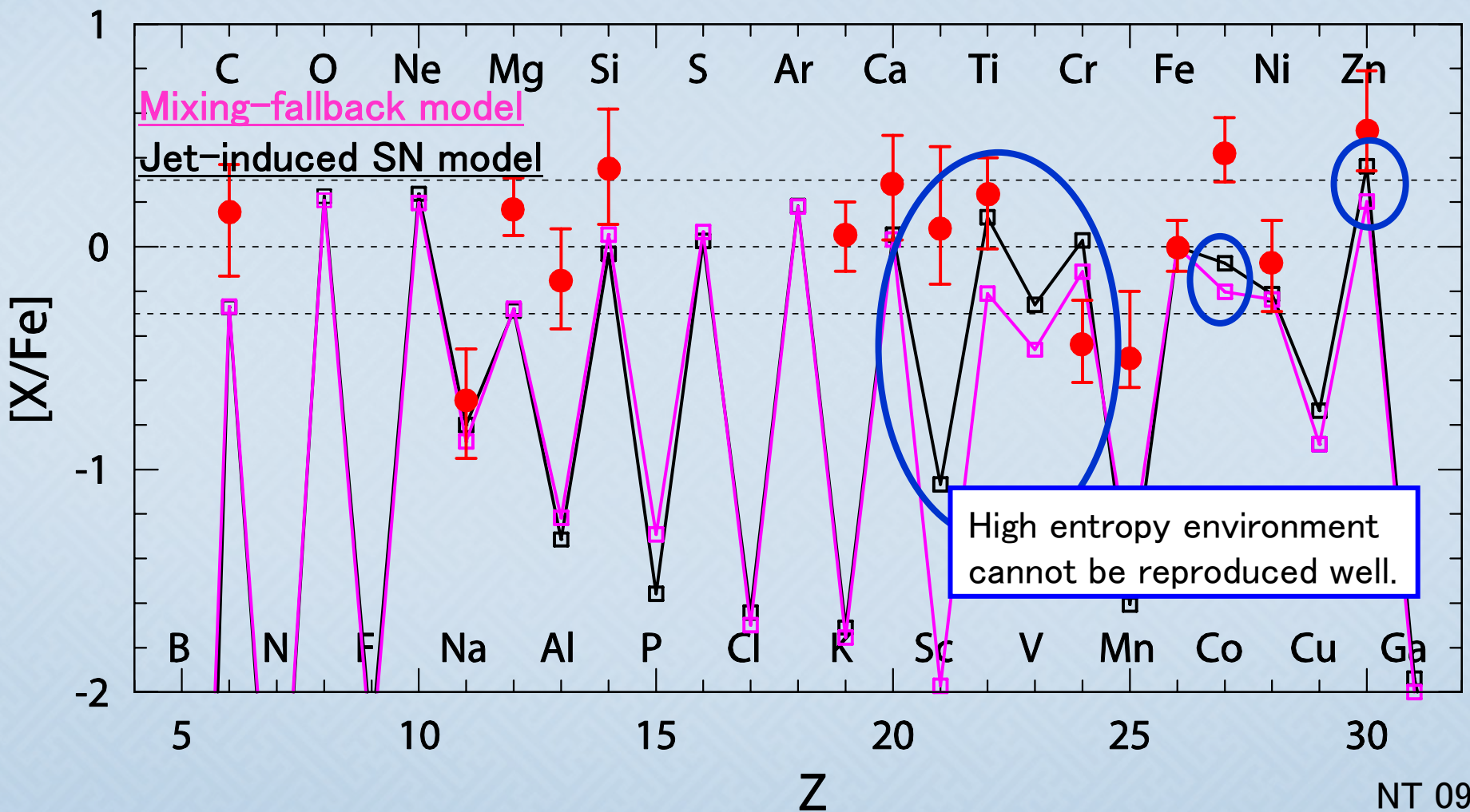
f Jet



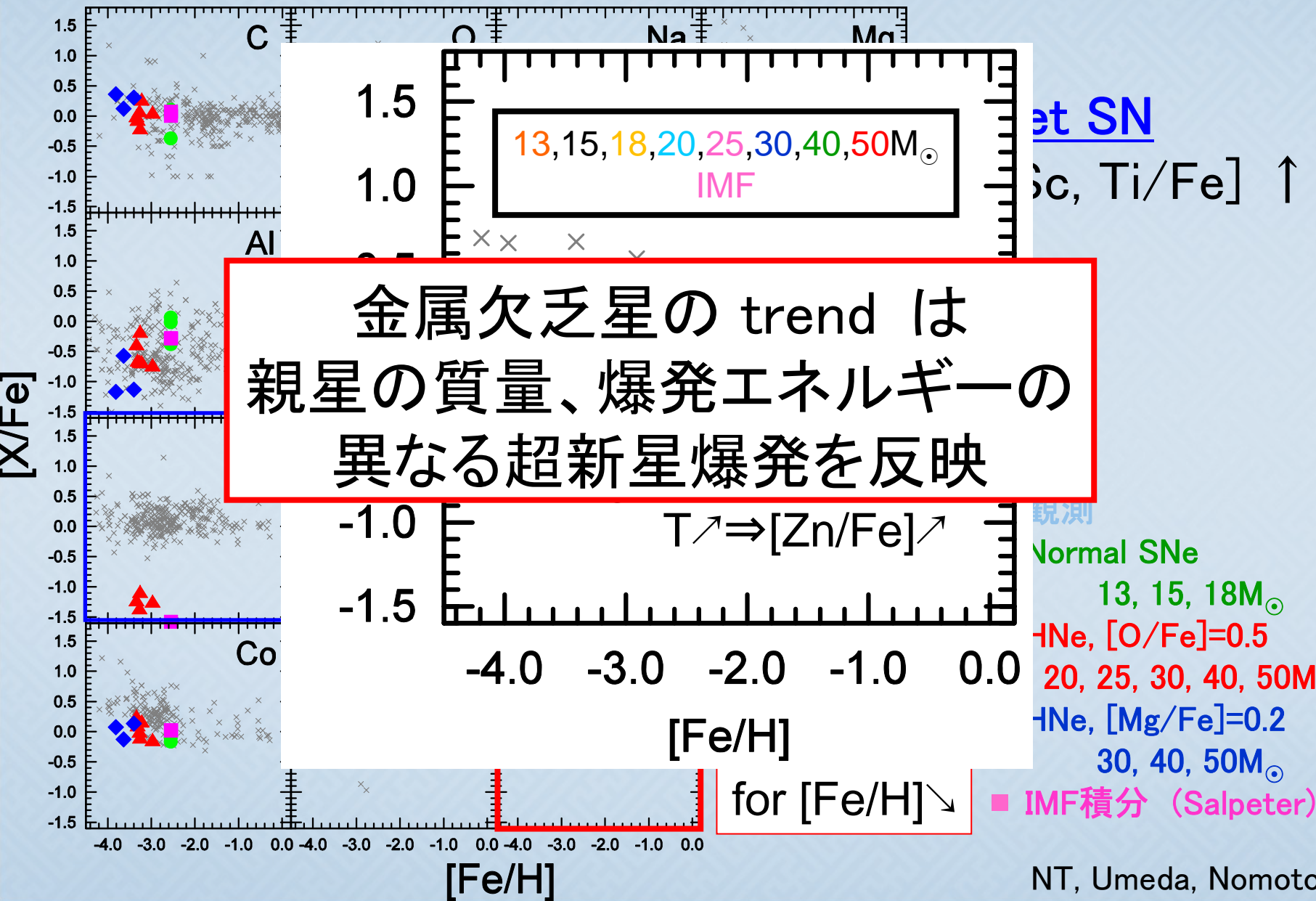
M_{out}



Mixing-fallback model vs. Jet-induced SN model



Trends of abundance ratios



まとめ

- 種族III星の超新星爆発:重力崩壊型超新星
 - PISN:痕跡なし → 存在しなかった? 見つからない?
 - PISN: $M(Fe) \sim 10M_{\odot}$: $M(H) \sim 10^5 M_{\odot}$ で $[Fe/H] \sim -1$
- 金属欠乏星を再現する種族III超新星
 - 現在の超新星($M_{ms} < 100M_{\odot}$)と矛盾しない。
 - EMP星: Hypernova
 - VMP星: Normal SN or IMF-integration
 - $300M_{\odot}$ 以上の重力崩壊型超新星の寄与についてはこれから。
- 種族III超新星の多様性 ⇄ 金属欠乏星の多様性
- 詳細は天文月報9月号EUREKAで。

EUREKA *****

超新星爆発と宇宙初期の元素組成

富 永 望

〈国立天文台 〒181-8588 東京都三鷹市大沢 2-21-1〉

e-mail: nozomu.tominaga@nao.ac.jp